

2023~2024 学年度上期高中 2021 级入学联考

地理

考试时间 90 分钟，满分 100 分

注意事项：

1. 答题前，考生务必在答题卡上将自己的姓名、座位号和准考证号用 0.5 毫米黑色签字笔填写清楚，考生考试条形码由监考老师粘贴在答题卡上的“贴条形码区”。

2. 选择题使用 2B 铅笔填涂在答题卡上对应题目标号的位置上，如需改动，用橡皮擦干净后再填涂其它答案；非选择题用 0.5 毫米黑色签字笔在答题卡的对应区域内作答，超出答题区域答题的答案无效；在草稿纸上、试卷上答题无效。

3. 考试结束后由监考老师将答题卡收回。

一、选择题：本题共 25 小题，每小题 2 分，共 50 分。在每个小题给出的四个选项中，只有一项是符合题目要求的。

雪线为常年积雪的下界，即年降雪量与年消融量相等的平衡线。林线是山地垂直自然带谱中的森林分布的上限海拔高度。图 1 示意安第斯山脉分布，图 2 示意安第斯山脉某段自然带分布。据此完成 1~3 题。

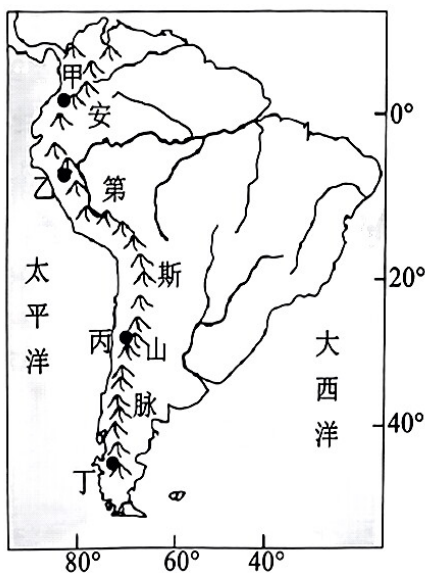


图 1

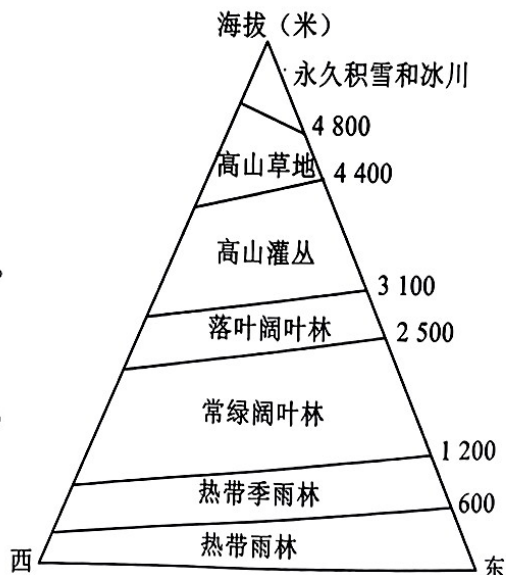


图 2

- 图 2 所示自然带可能位于图 1 中
A. 甲地 B. 乙地 C. 丙地 D. 丁地
- 图 2 所示山地东西两侧雪线高度差异的主导因素是
A. 光照 B. 气温 C. 降水 D. 坡度
- 与图 1 中甲地比较，丁地
① 雪线更低 ② 雪线更高 ③ 林线更高 ④ 林线更低
A. ①③ B. ①④ C. ②③ D. ②④

北京时间 2023 年 7 月 28 日 20 时，第 31 届世界大学生运动会（大运会）在成都东安湖体育公园（图 3）主体育场开幕。图 4 示意某摄影爱好者 8 月 13 日拍摄的大运会主火炬塔和落日同框景观。据此完成 4~6 题。



图 3



图 4

4. 下列 4 座城市大学生收看大运会开幕式直播时，正值旭日东升的是
- A. 巴黎 (48°52'N, 2°25'E) B. 布宜诺斯艾利斯 (34°2'S, 58°3'W)
- C. 悉尼 (33°51'S, 151°12'E) D. 亚的斯亚贝巴 (38°42'N, 9°03'E)
5. 此次大运会开幕式开始时刻，和成都处于同一天的区域在全球的占比为
- A. 1/4 B. 1/3 C. 1/2 D. 1
6. 该摄影爱好者拍摄照片所在位置最有可能是
- A. 甲地 B. 乙地 C. 丙地 D. 丁地

图 5 示意北印度洋部分海区 8 月表层海水盐度分布。据此完成 7~8 题。

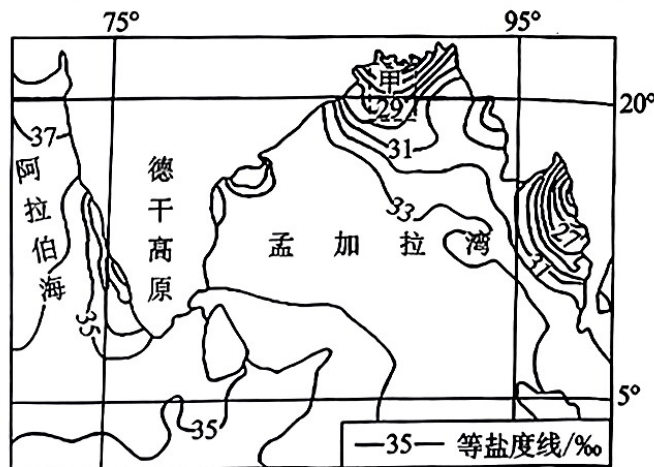


图 5

7. 8 月德干高原南部东西侧近海表层海水盐度差异显著，主要是因为西侧
- A. 寒流流经，近海蒸发较弱 B. 日照时数较少，近海水温较低
- C. 地形抬升，沿岸降水较多 D. 河流流程较长，淡水稀释较强
8. 与 2 月相比，8 月甲区域的表层海水等盐度线
- A. 更密集，弯曲程度大 B. 更密集，弯曲程度小
- C. 更稀疏，弯曲程度大 D. 更稀疏，弯曲程度小

橡胶树，喜高温高湿的环境。云南景洪（22°N，100°E），在20世纪70年代时还是一座原始雨林环绕的小城，如今60%以上的山地雨林被开发为枝繁叶茂的橡胶林。橡胶树下几乎没有其他植物可生长，产生严重的生态环境问题。近年来，该地区实施橡胶林生态保护修复工程，并将部分橡胶林恢复为雨林。据此完成9~11题。

9. 景洪市山地雨林开发程度最低的坡向最可能是
 A. 东坡 B. 西坡 C. 南坡 D. 北坡
10. 橡胶林恢复为雨林后，林区
 A. 空气湿度增大 B. 土壤有机质减少
 C. 平均气温升高 D. 地下水埋深增大
11. 目前，景洪市橡胶林区生态修复的最可行措施是
 A. 缩小橡胶种植面积 B. 预防和控制橡胶树病害
 C. 套种喜阴固氮作物 D. 建立橡胶树自然保护区

图6为1964~2017年东北三省冬半年最大冻土深度和最大积雪深度等值线图，据此完成12~14题。

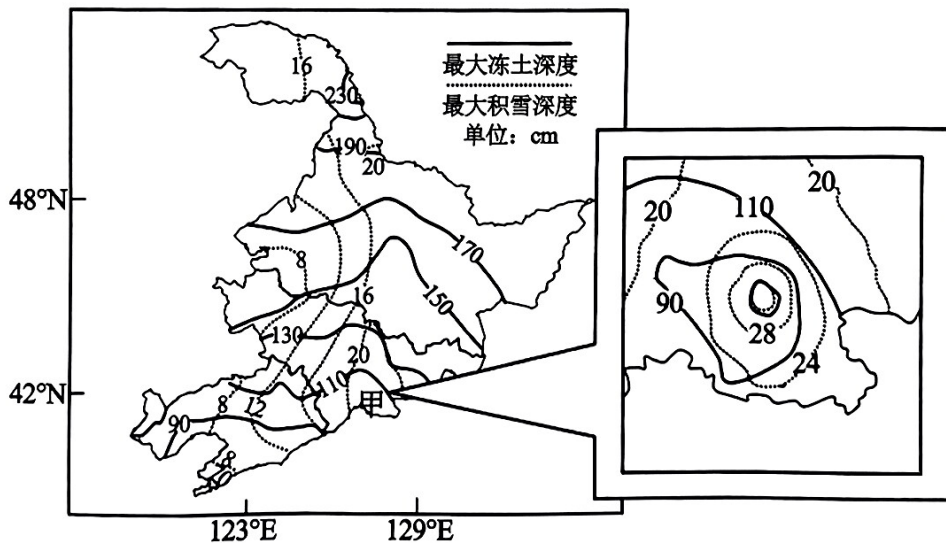


图6

12. 1964~2017年间，东北三省冬半年最大冻土深度
 A. 东大西小 B. 西大东小 C. 南大北小 D. 北大南小
13. 图中甲地积雪深度大，但冻土深度小，主要因为积雪覆盖
 A. 反射太阳辐射 B. 增强大气逆辐射
 C. 阻隔地面辐射 D. 减缓冬季风风速
14. 受全球变暖影响，未来东北三省冬半年最大冻土深度等值线整体
 A. 向北移动 B. 向南移动 C. 向西移动 D. 向东移动

霜冻线也叫0℃地表温度线，是区分是否出现霜冻天气的重要标志线。图7示意某日20时海平面气压状况，图中霜冻线为预报的次日霜冻界线。据此完成15~17题。

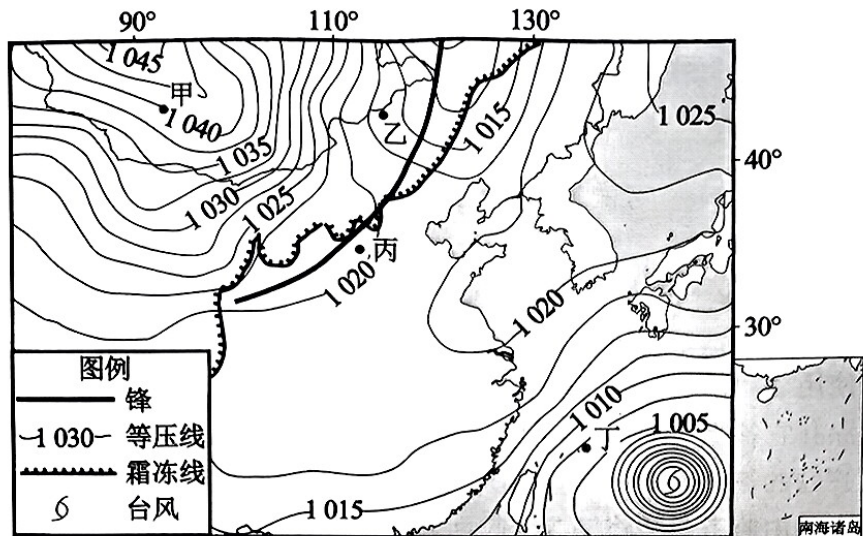


图 7

15. 根据图示材料, 可推测此时
- A. 图中锋面为暖锋
B. 甲地气压高, 天气晴朗
C. 乙地日均温低于 0°C
D. 丙地受霜冻影响
16. 该日所处月份最有可能是
- A. 3月
B. 7月
C. 10月
D. 12月
17. 图示时刻, 丁地风向为
- A. 偏南风
B. 偏北风
C. 偏东风
D. 偏西风

北极熊活动范围 (图 8) 主要有浮冰的海域, 海豹是其最主要的食物。哈德孙湾为浅海湾, 沿岸的丘吉尔港生活着上千只北极熊, 有“北极熊之都”之称。近年来, 由于全球气候变暖, 北极熊的生存状况越来越受到世人关注。据此完成 18~19 题。

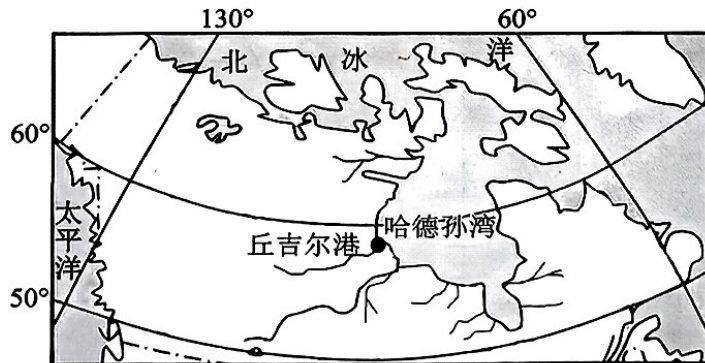


图 8

18. 与北冰洋沿岸比较, 丘吉尔港北极熊生存的有利条件是
- A. 海水盐度低
B. 捕食时间长
C. 食物更充足
D. 人类影响小
19. 全球变暖对北极熊生存环境的影响显著, 主要因为其可能导致
- ① 北极熊休眠期延长
② 浮冰面积缩小
③ 结冰期缩短
④ 臭氧浓度降低
- A. ①②
B. ②③
C. ①④
D. ③④

24. 中国的水能蕴藏量最丰富，是因为雅鲁藏布江
- A. 流程更长
B. 流域面积更广
C. 落差更大
D. 年径流量更大
25. 不丹境内的布拉马普特拉河支流
- A. 河道深切狭窄，水流湍急
B. 流量较大且季节分布均匀
C. 河道纵横交错，密如织网
D. 流量较小且季节变化较大

二、非选择题：本题共 4 小题，共 50 分。

26. 阅读图文材料，完成下列要求。（14 分）

地处四川西部的世界自然遗产——四姑娘山风景区（图 10）距成都市 203 km，毗邻青城山、都江堰、卧龙等世界级旅游景区，有独特现代山岳冰川景观，是四川大熊猫栖息地。景区自然风光秀丽，垂直高差大，是“一年四季游、一天游四季”的理想之地。依托区域优势和政策支持，当地着力打造登山、野营等体育特色浓厚的户外运动主题景区。未来还将建设都江堰至四姑娘山风景区的观光旅游铁路专线。

近年来，四姑娘山风景区游客量呈现快速增长趋势，且上升的速率快，常常游客爆棚。这一趋势影响了游客体验，带来了安全隐患。

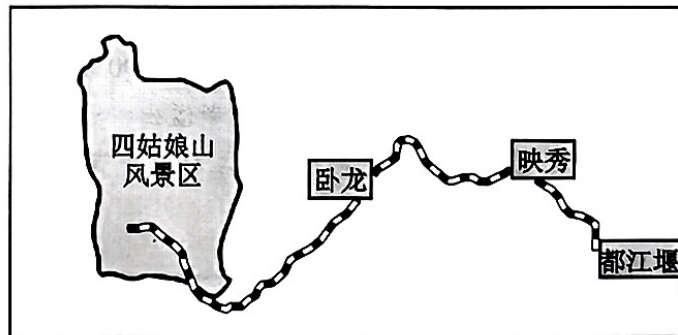


图 10

- (1) 说明四姑娘山打造山地户外运动旅游基地的有利条件。（4 分）
- (2) 分析观光旅游铁路专线建设对四姑娘山风景区旅游发展的积极作用。（3 分）
- (3) 简述四姑娘山风景区游客快速增长对环境的不利影响。（4 分）
- (4) 请为四姑娘山风景区游客爆棚提出应对措施。（3 分）

27. 阅读图文材料，完成下列要求。（11 分）

二荆条辣椒喜温不耐寒，适宜生长温度 18~33℃，不耐旱也不耐涝，适宜生长空气相对湿度 60%~80%，栽培于土层深厚疏松的微酸黄壤土。一般在 3 月中下旬定植秧苗，5 月上旬~10 月采收青果，7 月~9 月采收红椒。

双流牧马山为浅丘台地，土层厚度约为 40~95 厘米，富含磷、钾、钙、铁等矿物质，为二荆条辣椒主产区。2005 年前后，牧马山附近乡镇成立了多个二荆条辣椒专业合作社，为社员提供种植和销售等服务。2009 年，双流二荆条辣椒被列入“国家地理标志产品”。2015 年双流撤县设区以来，二荆条辣椒种植面积缩小，多家二荆条辣椒专业合作社注销。图 11 为牧马山位置示意图。

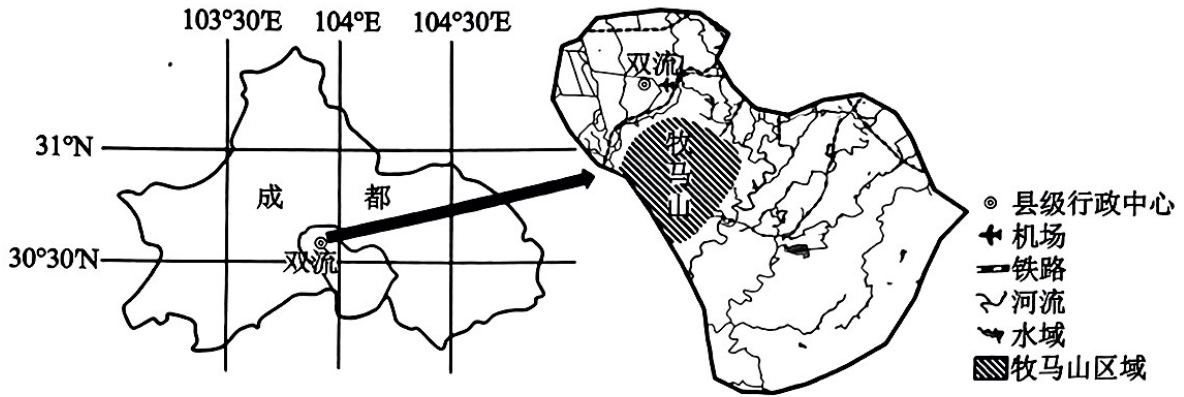


图 11

- (1) 与新疆相比，分析双流种植二荆条辣椒的有利气候条件。(3分)
- (2) 说明双流二荆条辣椒集中分布在牧马山区域的自然原因。(3分)
- (3) 分析成立专业合作社对二荆条辣椒产业发展的积极作用。(3分)
- (4) 分析 2015 年以来多家二荆条辣椒专业合作社注销的原因。(2分)

28. 阅读图文材料，完成下列要求。(13分)

柴达木河位于柴达木盆地最东部，全长 231 公里。柴达木河西支源头附近有阿拉克湖(海拔 4 100 米)，东支源地附近是冬给措纳湖(海拔 4 090 米)，两支汇合后称香日德河，流经香日德镇后潜入地下，后在小柴旦附近重新溢出，最终注入霍布逊湖。柴达木河西支源头附近山脉都是红层地貌(红色砂岩)，在特定季节整个柴达木河会被染红。图 12 为柴达木河流域水系分布图。

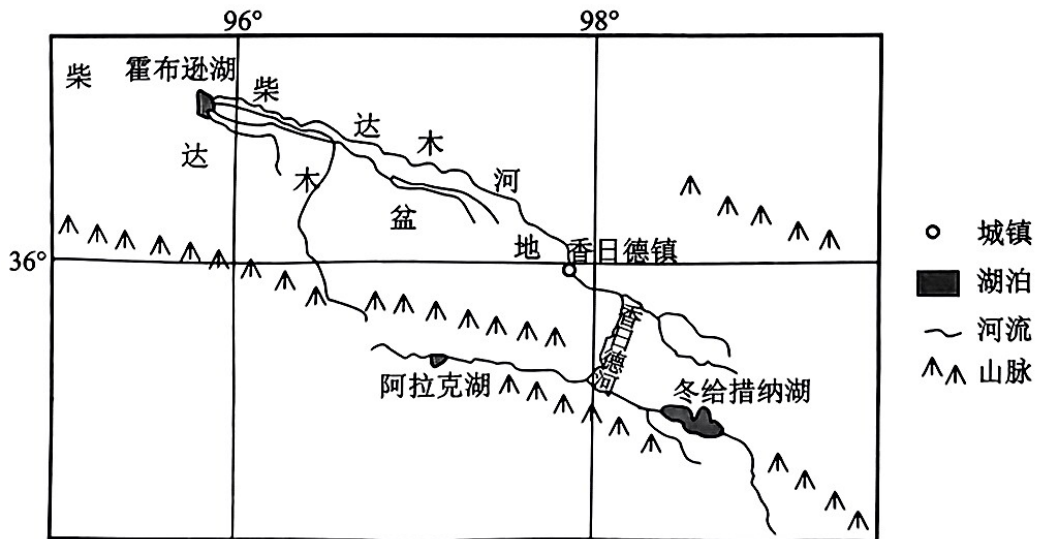


图 12

- (1) 说出柴达木河河水变为鲜红色的季节，并分析其原因。(5分)
- (2) 请在柴达木河流域阿拉克湖、冬给措纳湖、霍布逊湖中选择一个，指出其性质(淡水湖/咸水湖)，并说明原因。(4分)
- (3) 分析香日德河流经香日德镇后水量减少以及消失的原因。(4分)

29. 阅读图文材料，完成下列要求。（12分）

等位势线可表示某等压面对应海拔高度（如在 500 hpa 等压面图中，588 线可表示海拔 5 880 米高度处气压为 500 hpa）。天气预报中一般将 500 hpa 等压面图中等位势线数值大于 588 的区域表示为副热带高压的范围。副热带高压南北两侧往往降水丰富，其位置移动影响我国降水的多少、雨带的位置以及夏季旱涝分布。图 13、图 14 分别示意 2022 年 6 月 17 日和 2022 年 7 月初 588 线分布位置。



图 13

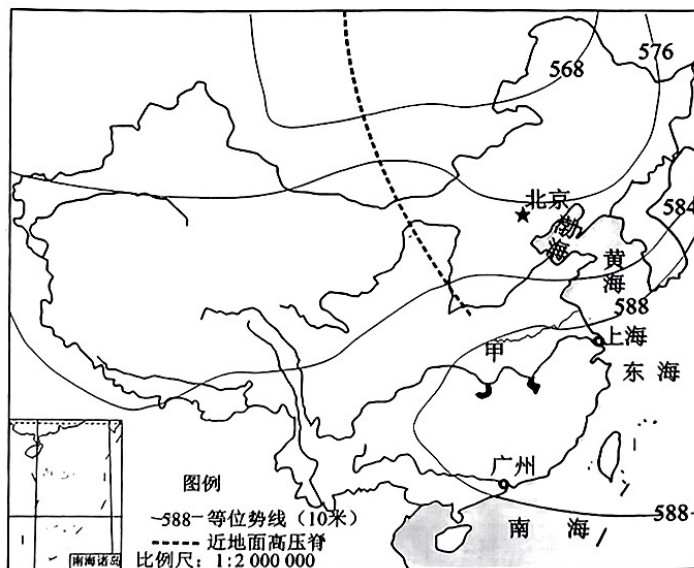


图 14

- (1) 推测 6 月 17 日华南地区天气特征，并说明理由。（4分）
- (2) 读图 13 和图 14，指出所示时间甲地区降水特征，并分析其原因。（4分）
- (3) 评价 2022 年 6~7 月甲地区降水对农业生产的影响。（4分）